

I-7

変位をフーリエ級数展開した高次ばかり理論

福島工業高等専門学校 正員 根岸嘉和
山梨大学工学部 正員 平島健一

[1] 緒言 本報告では、平面応力状態にあるばかりの曲げ解析理論をフーリエ級数展開を用いた変位仮定に基づいて構築し、本理論と他の諸理論との関係を示すとともに、数値例を通じてこの種の変位仮定に基づく高次ばかり理論の精度特性について考察する。

[2] 理論式の誘導

[1] 基本仮定と理論の定式化

Fig.1 に示すようなばかりにおける変位を高さ方向座標に関してフーリエ級数展開し、次式で仮定する。

$$U_j = \sum_{k=0}^{\infty} U_j^{(k)} \cos \frac{k\pi}{2} S + \sum_{k=1}^{\infty} \hat{U}_j^{(k)} \sin \frac{k\pi}{2} S \quad (j = x, z; S = z/c) \quad (1)$$

これらを、最小オーテンシャルエネルギーの原理に用いることにより、次式のような高次断面力のフリ合い式と境界条件式を得る。

$$\begin{cases} \bar{U}_{xj,x}^{(m)} + \left(\frac{m\pi}{2c}\right) \hat{U}_{xj}^{(m)} + \frac{1}{c} F_j^{(m)} = 0, \\ \hat{U}_{xj,x}^{(m)} - \left(\frac{m\pi}{2c}\right) \bar{U}_{xj}^{(m)} + \frac{1}{c} \hat{F}_j^{(m)} = 0. \end{cases} \quad (m = 0, 1, 2, \dots; n = 1, 2, \dots) \quad (2)$$

$$\begin{cases} \bar{U}_{ij}^{(m)} = \left\{ \begin{array}{l} \bar{U}_{ij}^{(m)} \\ \bar{U}_{ij}^{(n)} \end{array} \right\} \text{ or } \begin{cases} U_j^{(m)} \\ \hat{U}_j^{(n)} \end{cases} = \left\{ \begin{array}{l} \bar{U}_j^{(m)} \\ \hat{U}_j^{(n)} \end{array} \right\} \text{ at } x = \pm l \end{cases} \quad (3)$$

Where,

$$\begin{cases} \bar{U}_{ij}^{(m)} = C \int_{-l}^l \left\{ \begin{array}{l} \cos \frac{m\pi s}{2} \\ \sin \frac{m\pi s}{2} \end{array} \right\} ds, \\ \hat{U}_j^{(n)} = \left[\begin{array}{l} m \bar{U}_{ij}^{(m)} \\ \sin \frac{n\pi s}{2} \end{array} \right]_{S=1}^{S=1} \end{cases} \quad (4)$$

一方、幾何学的条件式と構成関係式を用いて応力成分を変位係数で表わすと、等方性ばかりの場合には次式となる。

$$\begin{aligned} \bar{U}_{xx} &= K \left[\sum_{k=0}^{\infty} \left\{ U_{xj,x}^{(k)} + V \beta_k \hat{U}_{xj}^{(k)} \right\} \cos \frac{k\pi}{2} S \right. \\ &\quad \left. + \sum_{k=1}^{\infty} \left\{ \hat{U}_{xj,x}^{(k)} - V \beta_k U_{xj}^{(k)} \right\} \sin \frac{k\pi}{2} S \right], \\ \bar{U}_{zz} &= K \left[\sum_{k=0}^{\infty} \left\{ V U_{xj,x}^{(k)} + \beta_k \hat{U}_{xj}^{(k)} \right\} \cos \frac{k\pi}{2} S \right. \\ &\quad \left. + \sum_{k=1}^{\infty} \left\{ V \hat{U}_{xj,x}^{(k)} - \beta_k U_{xj}^{(k)} \right\} \sin \frac{k\pi}{2} S \right], \\ \bar{U}_{xz} &= G \left[\sum_{k=0}^{\infty} \left\{ \beta_k \hat{U}_{xj}^{(k)} + U_{zj,x}^{(k)} \right\} \cos \frac{k\pi}{2} S \right. \\ &\quad \left. - \sum_{k=1}^{\infty} \left\{ \beta_k U_{xj}^{(k)} - \hat{U}_{zj,x}^{(k)} \right\} \sin \frac{k\pi}{2} S \right]. \end{aligned} \quad (5)$$

ここに $K = E/(1-\nu^2)$, $G = E/2(1+\nu)$, $\beta_k = (k\pi/2c)$ であり E はヤング率, ν はポアソン比を表す。

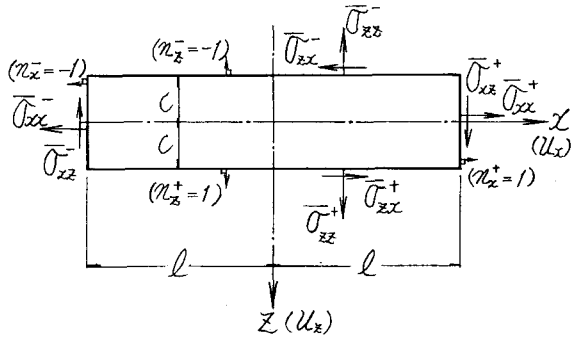


Fig.1 Geometry of beam and surface tractions.

式(5)を式(2), (4)に代入することにより式(1)で仮定した変位係数の支配方程式が得られる。たとえば、上表面に下向きに下なる荷重が作用した場合の次元理論の曲げ挙動の支配式は次式のようになる。

$$\begin{cases} \sum_{k=0}^{\infty} \left[C_m^k G \bar{U}_{xj,x}^{(k)} - S_m^k K \beta_k \beta_k \hat{U}_x^{(k)} \right. \\ \left. + \left\{ C_m^k G \beta_k + (1-\delta_{k0}) S_m^k V K \beta_k \right\} \hat{U}_{xj,x}^{(k)} \right] = \hat{\delta}_m (-1)^{\frac{m}{2}} \frac{P}{c}, \\ \sum_{k=0}^{\infty} \left[(1-\delta_{k0}) S_m^k K \hat{U}_{xj,x}^{(k)} - C_n^k G \beta_k \beta_k \hat{U}_x^{(k)} \right. \\ \left. - \left\{ S_m^k V K \beta_k + C_n^k G \beta_k \right\} \hat{U}_{zj,x}^{(k)} \right] = 0 \end{cases} \quad (6)$$

上式中の S_{mn} はクロネッカーハイドであり C_m^k , S_m^k , δ_m はとくに次式で与えられる量である。

$$\left\{ \begin{array}{l} C_m^k \\ S_m^k \end{array} \right\} = \int_{-l}^l \left\{ \begin{array}{l} \cos \frac{k\pi s}{2} \cos \frac{m\pi s}{2} \\ \sin \frac{k\pi s}{2} \sin \frac{m\pi s}{2} \end{array} \right\} ds, \quad \hat{\delta}_m = \frac{1+(-1)^m}{2} \quad (7)$$

このように、上下対称構造をもつばかりでは $\hat{U}_x^{(m)}$ と $\hat{U}_z^{(m)}$ が曲げ挙動を表わし、残る $\bar{U}_x^{(m)}$ と $\bar{U}_z^{(m)}$ が伸縮挙動を表わすことになり、両者は互いに直成しない。

[2] 上下表面での境界(荷重)条件の考慮

以上の定式化においては高さ方向応力が上下表面での境界条件を満足しないため、それらを満足させる方法を2つ示す。その1つは $\Delta \alpha$ らの理論で用いられたフリ合い法の考え方につれて、求められた曲げ応

力とのつり合いを満足する高さ方向応力を境界条件を考慮して求め直すもので、たとえば \bar{U}_{zz} は次式となる。

$$\begin{aligned} \bar{U}_{zz} = & K \left[\frac{c^2}{2} (\zeta - 1) U_{xx}^{(0)} \right. \\ & - \sum_{k=1}^{\infty} \left\{ \beta_k^2 \bar{U}_{x,xxx}^{(k)} + \sqrt{\beta_k} \bar{U}_{z,xx}^{(k)} \right\} \left\{ \cos \frac{k\pi}{2} \zeta - \cos \frac{k\pi}{2} \right\} \\ & \left. - \sum_{k=1}^{\infty} \left\{ \beta_k^2 \bar{U}_{x,xxx}^{(k)} - \sqrt{\beta_k} \bar{U}_{z,xx}^{(k)} \right\} \left\{ \sin \frac{k\pi}{2} \zeta - \sin \frac{k\pi}{2} \right\} \right] \\ & + \frac{P}{2} (\zeta - 1) \end{aligned} \quad (8)$$

他の1つ²⁾は、Mengi の理論²⁾で用いられてる考え方と同等で、上下表面での境界条件を支配式としてつり合い式と連立させて解くもので、たとえば曲げ挙動に関する式(6)と連立させてべき支配式は次式である。

$$\begin{cases} G \sum_{k=0}^{\infty} \left\{ \beta_k \bar{U}_{x,x}^{(k)} + \bar{U}_{z,x}^{(k)} \right\} \cos \frac{k\pi}{2} = 0 \\ K \sum_{k=0}^{\infty} \left\{ \nu \bar{U}_{x,x}^{(k)} - \beta_k \bar{U}_{z,x}^{(k)} \right\} \sin \frac{k\pi}{2} = \frac{P}{2} \end{cases} \quad (9)$$

③ 本理論と他の諸理論との関係

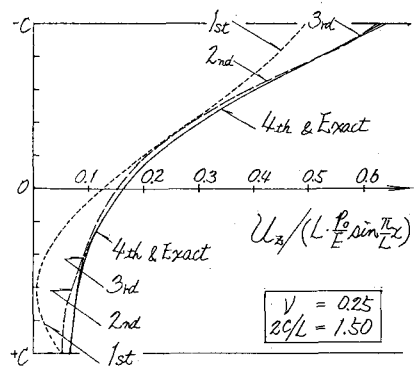
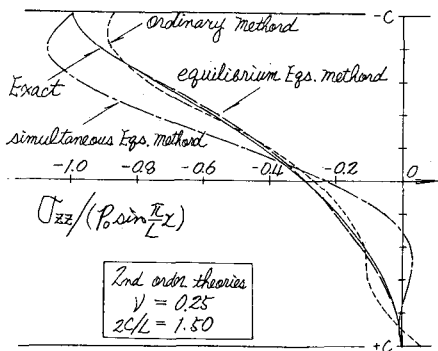
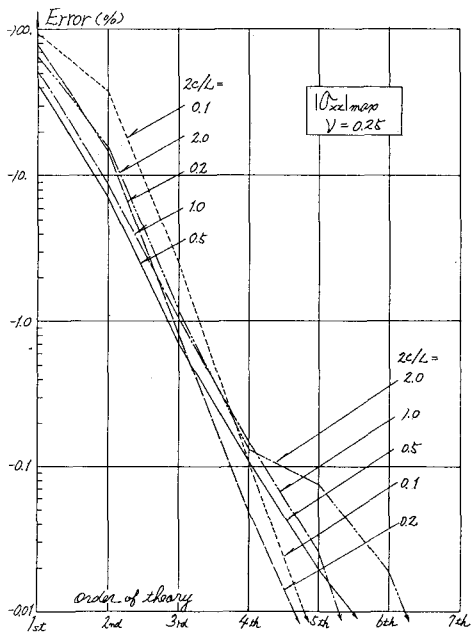
本理論も本質的には著者らの平板理論のうち変位を $U_j = \sum_{k=0}^{\infty} U_j^{(k)} \cos \frac{k\pi}{2} (1-\zeta) + \sum_{k=1}^{\infty} \hat{U}_j^{(k)} \sin \frac{k\pi}{2} (1-\zeta)$ のように仮定した理論をより適用したものと同等であるが、⁴⁾ ような展開法は Lee らのフーリエ級数展開理論 ($U_j = \sum_{k=0}^{\infty} U_j^{(k)} \cos \frac{k\pi}{2} (1-\zeta)$) の不完全性を補う目的を持った採用したものであり、この場合は曲げと伸縮が連成しない時でも支配式に双方に $\bar{U}_{xx}^{(k)}$, $\bar{U}_{zz}^{(k)}$ と $\bar{U}_{x,z}^{(k)}$, $\bar{U}_{z,z}^{(k)}$ の全種の成分が交互に入るため、式がより繁雑になるが、本理論では前述の通り前二者と後二者とが完全に分離でき明瞭である。なお Lee らの理論および Boggs の理論⁵⁾の手法は本理論において $U_j^{(0)}$, $\bar{U}_j^{(0)}$, $U_j^{(1)}$, $\bar{U}_j^{(1)}$, ...のみを採用したものに相当する。

④ 数値計算例

Fig. 2～4 に上表面に荷重 $P = P_0 \sin \frac{\pi}{L} x$ を受ける無限柱の解析結果を示す。Fig. 2 は変位 U_z の高さ方向分布の各次数の理論との比較であり、Fig. 3 は応力 \bar{U}_{zz} について境界条件を満足しない解と前述の 2 手法により満足させた解とを比較したものである。最後に Fig. 4 は最大曲げ応力 $|U_{xx}|_{max}$ の各次数の理論による解の厳密解への収束状況をいくつかの形状比 (z/L) について比較したものである。これらより本理論の解の精度特性の一端を知ることができます。

REFERENCES 1) Lo, K.H., Christensen, R.M. & Wu, E.M. : Int. J. Solids Struct. Vol. 14, pp. 655-662, 1978.

- 2) Mengi, Y. : Int. J. Solids Struct. Vol. 16, pp. 1155-1168, 1980. 3) Hirashima, K. & Negishi, Y. : Proc. JSCE No. 341, pp. 163-172, 1984. 4) Lee, P.C.Y. & Nikodem, Z. : Int. J. Solids Struct., Vol. 8, pp. 581-612, 1972. 5) Bogy, D.B. & Bugdayci, N. : Int. J. Solids Struct. Vol. 17, pp. 1159-1178, 1981.

Fig. 2 Distributions of U_z along the height.Fig. 3 Distributions of U_{zz} along the height.Fig. 4 Errors of $|U_{xx}|_{max}$ according to various theories.